

РАСПРОСТРАНЕНИЕ ЭЛЕКТРОМАГНИТНЫХ ВОЛН В КРУГЛОМ ВОЛНОВОДЕ С ПРОДОЛЬНОЙ ЩЕЛЬЮ

В. Н. Кошпаренко, С. В. Червова

Харьков

Цилиндрический волновод с продольной щелью является одной из структур открытого типа, имеющих важное практическое применение, например, в качестве антенн вытекающих волн. Задача о распространении электромагнитных волн вдоль щелевого цилиндра уже рассматривалась в работах [1, 2], где предложены различные приближенные методы анализа таких систем. Там же показано, что распространяющиеся типы волн характеризуются комплексными постоянными распространения, определяющими затухание вдоль системы и утечку энергии через щель во внешнее пространство. В отмеченных работах, однако, отсутствует строго обоснованное решение граничной задачи.

В настоящей работе задача о распространении электромагнитных волн в щелевом волноводе решается с помощью метода, развитого в работе [3].

Рассмотрим круглый волновод радиусом a с бесконечно тонкой и идеально проводящей поверхностью. Ось цилиндра совпадает с осью oz цилиндрической системы координат (z, ρ, φ) . Угловой размер щели равен 2ϑ . Середине щели соответствует $\varphi = 0$ (рис. 1). Искомое поле должно удовлетворять уравнениям Максвелла, граничным условиям на металле, условиям на бесконечности и быть непрерывным во всем пространстве. Поле также

периодично по координате φ , поэтому его можно представить в виде рядов Фурье

$$\begin{aligned}\vec{E} &= e^{ihz} \sum_n \vec{E}_n(\rho) e^{in\varphi}; \\ \vec{H} &= e^{ihz} \sum_n \vec{H}_n(\rho) e^{in\varphi}\end{aligned}\quad (1)$$

(множитель $e^{-i\omega t}$ здесь и далее опущен).

Составляющие вектор-функций $\vec{E}_n(\rho)$, $\vec{H}_n(\rho)$, найденные из уравнений Максвелла внутри волновода ($\rho < a$), равны

$$\begin{aligned}E_{nz} &= g e_n^- \frac{I_n(g\rho)}{I_n(ga)}; & H_{nz} &= g h_n^- \frac{I_n(g\rho)}{I_n(ga)}; \\ E_{n\varphi} &= \frac{nh}{kg\rho} e_n^- \frac{I_n(g\rho)}{I_n(ga)} - i h_n^- \frac{I_n'(g\rho)}{I_n'(ga)}; \\ E_{n\rho} &= -\frac{n}{kg\rho} h_n^- \frac{I_n(g\rho)}{I_n'(ga)} + i h e_n^- \frac{I_n'(g\rho)}{I_n'(ga)}; \\ H_{n\varphi} &= -\frac{nh}{kg\rho} h_n^- \frac{I_n(g\rho)}{I_n'(ga)} + i e_n^- \frac{I_n'(g\rho)}{I_n'(ga)}; \\ H_{n\rho} &= \frac{n}{kg\rho} e_n^- \frac{I_n(g\rho)}{I_n'(ga)} + i h h_n^- \frac{I_n'(g\rho)}{I_n'(ga)},\end{aligned}\quad (2)$$

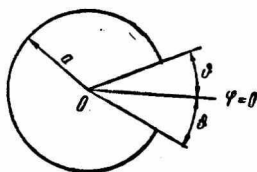


Рис. 1. Поперечное сечение круглого волновода с продольной щелью.

где h — продольное волновое число; g — поперечное волновое число; $h^2 + g^2 = k^2$; $k = \frac{\omega}{c} = \frac{2\pi}{\lambda_0}$ (λ_0 — длина волны в свободном пространстве).

Поле во внешней области ($\rho > a$) записывается в таком же виде, как и (2) с заменой e_n^- , h_n^- , $I_n(z)$, $I_n'(z)$ соответственно на e_n^+ , h_n^+ , $H_n^{(1)}(z)$, $H_n^{(1)'}(z)$.

Неизвестные коэффициенты e_n^- , h_n^- , e_n^+ , h_n^+ должны быть подобраны таким образом, чтобы искомое поле удовлетворяло граничным условиям на металле и было непрерывным в щели, что приводит к следующим уравнениям:

$$\begin{aligned}e_n^- &= e_n^+; & h_n^- &= h_n^+; \\ \sum_n e_n^- e^{in\varphi} &= 0 \quad (\text{на металле});\end{aligned}\quad (3)$$

$$\frac{h}{ka} \sum_n n e_n^- e^{in\varphi} + i \sum_n h_n^- e^{in\varphi} = 0 \quad (\text{на металле});\quad (4)$$

$$\sum_n h_n^- \frac{1}{I_n'(ga) H_n^{(1)'}(ga)} \cdot e^{in\varphi} = 0 \quad (\text{на щели}); \quad (5)$$

$$\frac{h}{gka} \sum_n n h_n^- \frac{e^{in\varphi}}{I_n'(ga) H_n^{(1)'}(ga)} + i \sum_n e_n^- \frac{e^{in\varphi}}{I_n(ga) H_n^{(1)}(ga)} = 0 \quad (\text{на щели}).$$

Систему функциональных уравнений (4), (5) легко преобразовать к эквивалентной ей системе

$$\sum_n n e_n^- e^{in\varphi} = 0 \quad (\text{на металле});$$

$$\sum_n e_n^- \frac{e^{in\varphi}}{I_n(ga) H_n^{(1)}(ga)} = 0 \quad (\text{на щели}); \quad (6)$$

$$\sum_n (-1)^n e_n^- = 0;$$

$$\sum_n h_n^- e^{in\varphi} = 0 \quad (\text{на металле});$$

$$\sum_n n h_n^- \frac{e^{in\varphi}}{I_n'(ga) H_n^{(1)'}(ga)} = 0 \quad (\text{на щели}); \quad (7)$$

$$\sum_n h_n \frac{1}{I_n'(ga) H_n^{(1)'}(ga)} = 0.$$

В (6), (7) неизвестные e_n^- и h_n^- уже не связаны между собой. Это говорит о том, что в волноводе с продольной щелью могут раздельно существовать электрические и магнитные волны или их суперпозиция.

Введем новые неизвестные $x_n = n e_n^-$ ($n \neq 0$), $a_0 = e_0^-$,

$$y_n = n \frac{(-1)^n h_n^-}{I_n'(ga) H_n^{(1)'}(ga)} \quad (n \neq 0); \quad b_0 = \frac{h_0^-}{I_n'(ga) H_n^{(1)'}(ga)}$$

и параметры

$$\varepsilon_n = 1 - \frac{1}{i\pi |n| I_n(ga) H_n^{(1)}(ga)}; \quad \delta_n = 1 + \frac{i\pi (ga)^2 I_n'(ga) H_n^{(1)'}(ga)}{|n|} \quad (8)$$

таким образом, что

$$\lim_{n \rightarrow \infty} \varepsilon_n = 0 \left(\frac{1}{|n|^2} \right); \quad \lim_{n \rightarrow \infty} \delta_n = 0 \left(\frac{1}{|n|^2} \right).$$

Тогда вместо (6) и (7) имеем

$$\sum_{n \neq 0} x_n e^{in\varphi} = 0, \quad \vartheta < |\varphi| < \pi;$$

$$\sum_{n \neq 0} x_n \frac{|n|}{n} e^{in\varphi} = \frac{i}{\pi} \frac{a_0}{I_0(ga) H_0^{(1)}(ga)} + \sum_{n \neq 0} x_n \frac{|n|}{n} \varepsilon_n e^{in\varphi}, \quad \vartheta > |\varphi|; \quad (9)$$

$$\sum_{n \neq 0} \frac{(-1)^n}{n} x_n = -a_0;$$

$$\sum_{n \neq 0} y_n e^{in\varphi'} = 0, \quad \vartheta' < |\varphi'| < \pi;$$

$$\sum_{n \neq 0} y_n \frac{|n|}{n} e^{in\varphi'} = -i\pi (ga)^2 b_0 I_0'(ga) H_0^{(1)'}(ga) + \sum_{n \neq 0} y_n \frac{|n|}{n} \delta_n e^{in\varphi'};$$

$$\vartheta' > |\varphi'|;$$
(10)

$$\sum_{n \neq 0} \frac{(-1)^n}{n} y_n = -b_0,$$

где

$$\varphi' = \varphi - \pi; \quad \vartheta' = \pi - \vartheta.$$

В работе [3] показано, что такие системы функциональных уравнений с помощью метода задачи Римана-Гильберта приводятся к эквивалентным системам линейных алгебраических уравнений

$$x_m = \frac{i}{\pi} \frac{a_0 V_{m-1}^{-1}(u)}{I_0(ga) H_0^{(1)}(ga)} + \sum_{n \neq 0} x_n \frac{|n|}{n} \varepsilon_n V_{m-1}^{n-1}(u); \quad (11)$$

$$-a_0 = \frac{i}{\pi} \frac{a_0 W_0(u)}{I_0(ga) H_0^{(1)}(ga)} + \sum_{n \neq 0} x_n \frac{|n|}{n} \varepsilon_n W_n(u);$$

$$y_m = -i\pi (ga)^2 I_0'(ga) H_0^{(1)'}(ga) V_{m-1}^{-1}(-u) b_0 + \sum_{n \neq 0} y_n \frac{|n|}{n} \delta_n V_{m-1}^{n-1}(-u);$$

$$-b_0 = -i\pi (ga)^2 I_0'(ga) H_0^{(1)'}(ga) W_0(-u) b_0 + \sum_{n \neq 0} y_n \frac{|n|}{n} \delta_n W_n(-u),$$
(12)

где $u = \cos \vartheta$; $V_{m-1}^{n-1}(u)$ вычислены в работе [3],

$$W_0(u) = \ln \frac{1+u}{2}; \quad W_n(u) = \frac{1}{2n} [P_n(u) - P_{n-1}(u)];$$

$P_n(u)$ — полиномы Лежандра.

Однородные системы уравнений (11), (12) имеют нетривиальные решения при равенстве нулю их определителей. Приравняв определители систем (11) и (12) нулю, получим два дисперсионных уравнения для электрических и магнитных волн. Так как ε_n и δ_n убывают как $\frac{1}{|n|^{1/2}}$, то бесконечные определители можно заменить конечными, полагая

$$\varepsilon_n = \delta_n = 0 \quad \text{при } |n| > N.$$

В общем случае решение дисперсионных уравнений затруднительно, так как требуются вычисления определителей больших порядков. В практических приложениях интересен случай узкой щели:

$$V_{m-1}^{n-1}(u) \rightarrow 0; W_n(u) \rightarrow 0; V_{m-1}^{n-1}(-u) \rightarrow 0, \left(n \neq \begin{matrix} 0 \\ m \end{matrix} \right); W_0(-u) \rightarrow \infty;$$

определитель приближенно равен

$$\Delta \approx \prod_{k=-\infty}^{\infty} (\alpha_{kk} - 1) \left\{ 1 - \sum_{n \neq 0} \sum_{|m| > |n+1|} \frac{\alpha_{mn} \alpha_{nm}}{(\alpha_{mm} - 1)(\alpha_{nn} - 1)} \right\}, \quad (13)$$

где

$$\alpha_{00} = -\frac{i}{\pi} \frac{W_0}{I_0(ga) H_0^{(1)}(ga)};$$

$$\alpha_{n0} = \frac{i}{\pi} \frac{V_{n-1}^{-1}(u)}{I_0(ga) H_0^{(1)}(ga)}; \alpha_{0n} = -\frac{|n|}{n} \epsilon_n W_n(u); \alpha_{mn} = \frac{|n|}{n} \epsilon_n V_{m-1}^{n-1}(u)$$

для электрических волн и

$$\alpha_{00} = i\pi (ga)^2 I_0'(ga) H_0^{(1)'}(ga) W_0(-u);$$

$$\alpha_{n0} = -i\pi (ga)^2 I_0'(ga) H_0^{(1)'}(ga) V_{n-1}^{-1}(-u);$$

$$\alpha_{0n} = -\frac{|n|}{n} \delta_n W_n(-u); \alpha_{mn} = \frac{|n|}{n} \delta_n V_{m-1}^{n-1}(-u)$$

для магнитных волн.

В дисперсионные уравнения входят произведения $(\alpha_{kk} - 1)$, в которых каждый из сомножителей может обращаться в нуль. Поэтому дисперсионные уравнения распадутся на уравнения вида

$$(\alpha_{kk} - 1) + \sum_{|j| > |k+1|} \frac{\alpha_{kj} \alpha_{jk}}{(\alpha_{jj} - 1)} = 0, \quad (14)$$

$$(k = 0, 1, 2, \dots)$$

$\alpha_{kj} \alpha_{jk}$ при $k \neq 0$ — малая величина, поэтому приближенно можно считать $(\alpha_{kk} - 1) = 0$, и дисперсионные уравнения имеют вид

$$1 - \frac{|n|}{n} \epsilon_n V_{n-1}^{n-1}(u) = 0;$$

$$1 - \frac{|n|}{n} \delta_n V_{n-1}^{n-1}(u) = 0. \quad (15)$$

Для электрических волн $\alpha_{0j} \alpha_{j0}$ тоже малая величина, поэтому при $k = 0$ дисперсионное уравнение имеет вид

$$1 + \frac{i}{\pi} \frac{\ln \frac{1+u}{2}}{I_0(ga) H_0^{(1)}(ga)} = 0. \quad (16)$$

Для магнитных волн α_0, α_{j0} уже не будет малой величиной, поэтому дисперсионное уравнение в этом случае запишем в виде

$$i\pi (ga)^2 I_0'(ga) H_0^{(1)'}(ga) W_0(-u) - 1 + \\ + i\pi (ga)^2 I_0'(ga) H_0^{(1)'} \sum_{n=1}^N \frac{V_{n-1}^{-1}(-u) W_n(-u) \delta_n \frac{|n|}{n}}{\frac{|n|}{n} \delta_n V_{n-1}^{n-1}(-u) - 1}. \quad (17)$$

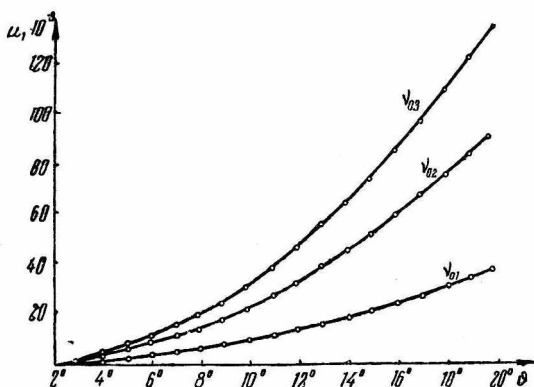


Рис. 2. Зависимость реальной части комплексной добавки к постоянной распространения от ширины щели.

Численный анализ проводился для уравнения (16). Расчеты велись на ЭВМ для значений углов раскрыва щели $\vartheta = 1^\circ \div 20^\circ$, при этом полагалось, что

$$ga = \nu_{0n} + \mu_1 + i\mu_2,$$

где ν_{0n} — корни функций $I_0(\nu_{0n}) = 0$ и μ_1, μ_2 — малые добавки. Корни дисперсионного уравнения (17) предполагались близкими к $\nu_{01} = 2,40483$, $\nu_{02} = 5,52008$, $\nu_{03} = 8,65373$. Результаты численного анализа приведены на рис. 2, 3, из которых видно, что μ_1, μ_2 возрастают с увеличением ширины щели, причем щель влияет на высшие моды сильнее. Затухание, определяемое величиной μ_2 , возрастает с увеличением ширины щели и преобладает на более коротких длинах волн. Это объясняется тем, что с уменьшением длины волны увеличивается просачивание энергии через щель во внешнее пространство.

Корень $ga = \nu_{0n}$ соответствует одному из модов сплошного волновода, значит, при узких щелях распространяющиеся волны близки к собственным модам сплошного волновода. Таким образом, из строгого решения граничной задачи определены условия существования электромагнитных волн в волноводе со щелью.

Приведенный расчет дисперсионного уравнения (16) применим и для других дисперсионных уравнений, определяющих другие типы волн, распространяющихся в системе.

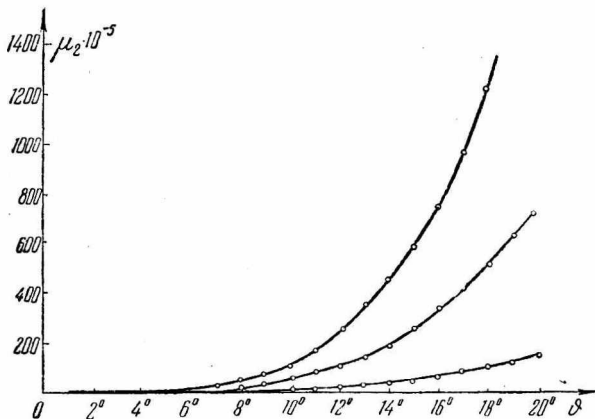


Рис. 3. Зависимость мнимой добавки к постоянной распространения от ширины щели.

ЛИТЕРАТУРА

1. R. F. Harrington. J. Appl. Phys., 1953, v. 24, 1366, N 11.
2. L. O. Goldstone, A. A. Olinner. IRE Trans. on Antennas and Propagation, v. AP-9, 280, 1961, N 3.
3. З. С. Агранович, В. А. Марченко, В. П. Шестопапов. ЖТФ, т. 32, № 4, 1962.